

разностями, все остальные *линейные члены* уравнений и краевые условия выбираются в моменты времени $t = t_{m+1}$ (неявная схема), а *нелинейные члены* $F(s, a)$ выбираются в момент времени $t = t_m$ (явная схема). Впрочем, имеются и иные варианты аппроксимации для функции $F(s, a)$. Например, числитель этой функции, т. е. sa , можно представлять в виде $s^{m+1}a^m$ для уравнения (6.5) и в виде $s^m a^{m+1}$ для уравнения (6.6).

Слабую формулировку задачи (6.5)–(6.8) получим, умножая уравнения (6.5), (6.6) на *независимые* тестовые функции $v_s(x, y)$, $v_a(x, y)$, а затем складывая уравнения и интегрируя по частям при помощи формулы Грина (с учетом краевых условий (6.7))

$$\begin{aligned}
 & \iint_D \left(\frac{s^{m+1} - s^m}{\tau} v_s + \mu_s \nabla s \cdot \nabla v_s \right) dx dy - \\
 & - \iint_D \gamma (s_0 - s^{m+1} - \rho F(s^m, a^m)) v_s dx dy + \\
 & + \iint_D \left(\frac{a^{m+1} - a^m}{\tau} v_a + \mu_a \nabla a \cdot \nabla v_a \right) dx dy - \\
 & - \iint_D \gamma (\alpha (a_0 - a^{m+1}) - \rho F(s^m, a^m)) v_a dx dy = 0.
 \end{aligned} \tag{6.9}$$

6.3 Фрагменты кодов на языке FreeFem++

Полный код на языке FreeFem++ для решения задачи (6.5)–(6.8) дан в п. 6.4.2. Приведем фрагменты программы, позволяющие использовать результаты, полученные ранее при решении нестационарной задачи для уравнения Лапласа (см. с. 62).

Здесь и далее используем следующие идентификаторы

s^{m+1}	\rightarrow	s	$g(s, a)$	\rightarrow	gsa	α	\rightarrow	alpha
a^{m+1}	\rightarrow	a	$f(s, a)$	\rightarrow	fsa	ρ	\rightarrow	rho
s^m	\rightarrow	spr	μ_s	\rightarrow	mus	β	\rightarrow	beta
a^m	\rightarrow	apr	μ_a	\rightarrow	mua	τ	\rightarrow	dt
v_s	\rightarrow	vs	K	\rightarrow	K	t	\rightarrow	t
v_a	\rightarrow	va	γ	\rightarrow	gamma			

При составлении алгоритма следует учесть, что необходимо ввести *две* неизвестные функции **s** и **a** и для *каждой из них* свои тестовые функции, например, **vs**, **va**

Vh s, a, vs, va;

Слабая формулировка задачи (6.9) записывается в виде

```

problem Diffusion(s, a, vs, va, solver=UMFPACK) =
    int2d(Th)( s*vs + dt*mus*(dx(s)*dx(vs) + dy(s)*dy(vs)) )
    -int2d(Th)( ( spr + dt*gsa )*vs )

```

```
+int2d(Th)( a*va + dt*mua*(dx(a)*dx(va) + dy(a)*dy(va)) )
-int2d(Th)( ( apr + dt*fsa )*va ) ;
```

Сравнивая `problem Diffusion(s, a, vs, va)` с `problem Heat(u, v)` на с. 62, видим, что в данном случае в качестве аргументов `Diffusion` следует использовать `s, a, vs, va`, т. е. перечислять все неизвестные и тестовые функции. Алгоритм решения нестационарной задачи имеет вид (ср. с аналогичным для `problem Heat` на с. 62)

```
for (int m=0; m<=1000; m++)
{ gsa = gamma*(s0-spr - rho*spr*apr/(1+spr+K*spr^2));
  fsa = gamma*(alpha*(a0-apr) - rho*spr*apr/(1+spr+K*spr^2));
  t = t + dt;
  Diffusion;
  spr = s;   apr = a;
  plot(s);
}
```

Обратим внимание, что функции `gsa, fsa` вычисляются внутри цикла на каждом шаге по времени и должны быть предварительно описаны до их появления в строках кода, т. е. до записи `problem Diffusion`

`Vh gsa, fsa;`

Наконец, укажем как на языке `FreeFem++` в случае задачи с несколькими неизвестными функциями следует задавать краевые условия первого рода. Например, для задания однородных условий Дирихле на каком-либо участке границы с именем `Bn` в `problem Diffusion(...)` = необходимо добавить строку

$$+ \text{on}(\text{Bn}, s=0, a=0); \quad (s|_{\text{Bn}} = 0, \quad a|_{\text{Bn}} = 0).$$

Иными словами, краевые условия должны быть указаны для каждой неизвестной функции.

Учет краевых условий третьего рода и неоднородных условий второго рода, как обычно, осуществляется при записи слабой (вариационной) формулировки задачи, т. е. при помощи интегралов по контуру `int1d` и интегралов по области `int2d` (для краевых условий третьего рода).

6.4 Окраска шкур животных

Как уже говорилось при задании функций (6.4), задача (6.1)–(6.4) может моделировать процесс формирования окраски шкур животных [19]. Эта прекрасная задача как нельзя лучше позволяет продемонстрировать широкие возможности метода конечных элементов для построения решения в областях сложной формы.

Приведем минимально необходимые сведения, требующиеся для понимания результатов дальнейших расчетов. Предположим, что имеется шкура зародыша животного (двумерная область D сложной формы), на которой в процессе развития эмбриона формируется окраска, например, в виде

чередующихся полос, как у зебры, или пятен, как у леопарда. В простейшей модели считается, что на шкуре животного имеется начальное распределение двух веществ, одно из которых субстрат (красящий пигмент), а другое — косубстрат. В результате химических взаимодействий в присутствии фермента (катализатора) и процессов диффузии происходит перераспределение концентрации красящего вещества.

Система уравнений (6.1), (6.4) как раз и описывает двухкомпонентную смесь, в которой происходит превращение тирозина в меланин при наличии ферментов в эпидерме и (или) шерсти. Вещество с концентрацией s является субстратом (меланин), а вещество с концентрацией a — косубстратом (тирозин). Предполагается, что на шкуре имеется равномерное распределение субстрата s_0 и косубстрата a_0 . Члены $\gamma(s_0 - s)$ и $\gamma\alpha(a_0 - a)$ в плотностях источников концентраций (функции g и f) моделируют приток веществ к поверхности шкуры из тела эмбриона.

Функция $F(s, a)$ (см. (6.4)) моделирует реакцию, которую называют реакцией с ингибированием субстратом (K — коэффициент ингибирования). Термин «ингибирование субстратом» означает, что с ростом концентрации s скорость химической реакции $F(s, a)$ стремится к нулю — большое количество субстрата подавляет (ингибирует) процесс протекания реакций.

Процесс возникновения сложной окраски качественно можно объяснить следующим образом. Если в результате химических реакций между компонентами s и a в окрестности какой-либо точки (x, y) области D количество субстрата s становится достаточно большим, то протекание химической реакции полностью подавляется. В такой ситуации решающую роль в распределении концентрации играют диффузионные процессы. В результате диффузии концентрация субстрата s в точке (x, y) начинает уменьшаться и вновь «включаются» химические процессы, приводящие к увеличению концентрации субстрата. При некоторых значениях параметров могут возникнуть сложные пространственно-временные структуры, соответствующие полосам, пятнам и другим рисункам окраски шкуры животного.

Описанный механизм возможного образования структур называется диффузионной неустойчивостью и особенно ярко проявляется в окрестности точки равновесия (\tilde{s}, \tilde{a}) , которая является решением системы уравнений $f(s, a) = 0$, $g(s, a) = 0$ (и всей задачи в целом).

6.4.1 Вычислительный эксперимент

На рис. 6.1 показано образование пространственной структуры распределения субстрата в области D , которая имитирует шкуру домашней длиннохвостой кошки¹. Для проведения расчетов использован один из наборов параметров, предложенный в [19] (к сожалению, размеры области D там не указаны)

$$K = 0,125; \quad \rho = 13; \quad s_0 = 103; \quad a_0 = 77;$$

$$\alpha = 1,5; \quad \mu_a = 1; \quad \mu_s = \beta = 7; \quad \gamma = 510.$$

¹ Прототипом области D послужила шкура кошки учебной компьютерной лаборатории кафедры вычислительной математики и математической физики <http://vmmf.math.rsu.ru>

Равновесному решению соответствуют следующие значения

$$s = \tilde{s} = 24,95939605, \quad a = \tilde{a} = 24,97293070$$

(заметим, что в [19] приведены ошибочные значения $\tilde{s} = 24$ и $\tilde{a} = 23$).

В качестве начального распределения (6.3) взято малое возмущение стационарного решения (имитация случайного возмущения)

$$s = \tilde{s} + 10^{-2} \cos(12,765\pi x) \sin(12\pi y),$$

$$a = \tilde{a} + 10^{-5} \cos(10\pi x) \sin(16,786\pi y).$$

На рис. 6.1 хорошо видно, как с течением времени формируется пространственно-периодическая структура изолиний распределения концентрации s . На самом деле, на рис. 6.1 для лучшей визуализации приведена разность $s(x, y, t) - \tilde{s}$. Дело в том, что в задаче очень быстро устанавливается решение, близкое к стационарному, т. е. диффузионная неустойчивость возникает в окрестности точки (\tilde{s}, \tilde{a}) .

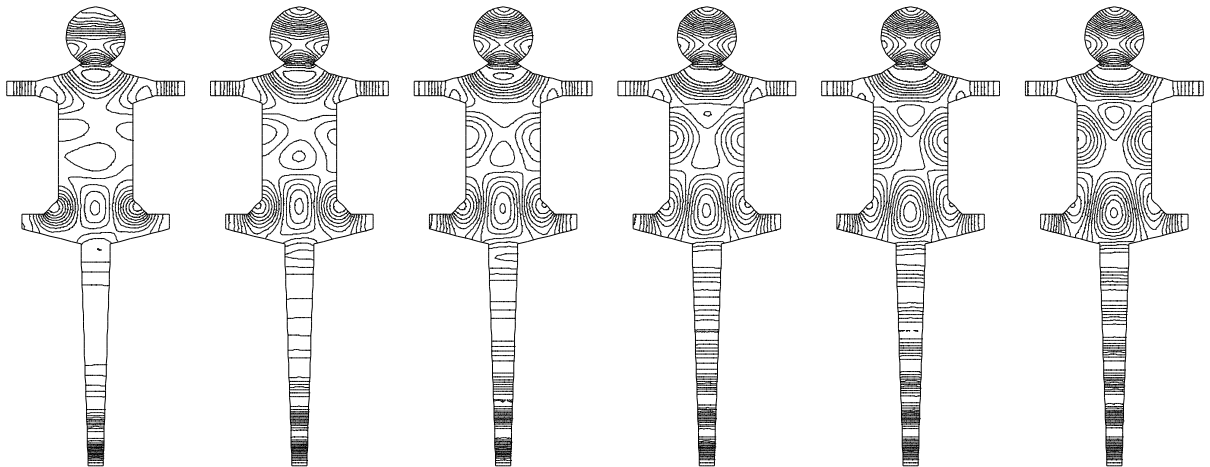


Рис. 6.1. Изолинии функции $s(x, y, t) - \tilde{s}$ при $t = 0,025m$, $m = 1, \dots, 6$

Рис. 6.1 показывает, что с течением времени формируется ярко выраженная полосатость протяженных областей (хвост, лапы). В областях с измеримыми размерами (туловище, голова) полосатость не так заметна.

Подчеркнем, что модель (6.1)–(6.4) реально описывает лишь двухцветный механизм формирования полос или пятен. Значениям $(s - \tilde{s}) > 0$ соответствует черный цвет, а значениям $(s - \tilde{s}) < 0$ — белый. На рис. 6.2 (второй слева) показано распределение черно-белых полос на шкуре. Для реализации такой визуализации был использован следующий код (конечно, необходимо описать массив **rr** — **Vh rr**)

```
for (int j=0; j<sdif[ ].n; j++)
{
    if (!(sdif[ ][j]>0)) { rr[ ][j]=1; }
    if (!(sdif[ ][j]<0)) { rr[ ][j]=0; }
}
plot(rr, bw=1);
```

6.4.1.1 Деформация области

В языке FreeFem++ имеется ключевое слово `movemesh` для деформации исходной области. Пример использования `movemesh`

```
func uu = sin(y*pi)/10,    vv = cos(x*pi)/10;
// коэффициент деформации сетки
real coef = 1.5;
// деформация сетки
Th = movemesh(Th0, [x+coef*uu, y+coef*vv]);
```

На рис. 6.2 показана триангуляция сложной области, использованной для расчетов, показанных на рис. 6.1, и триангуляция области, полученной в результате деформации.

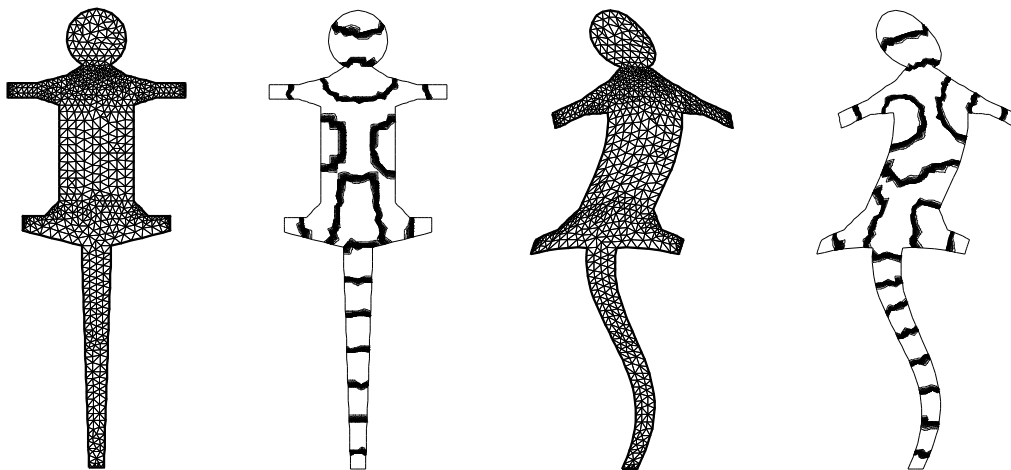


Рис. 6.2. Полосы окраски в момент времени $t = 0,1$

6.4.1.2 Различные модификации кода

Подчеркнем, что во всех приводимых программах контроль точности вычислений не производится. Результаты расчетов могут довольно сильно зависеть от количества точек, выбираемых для триангуляции области

```
mesh Th0 = buildmesh(...);
```

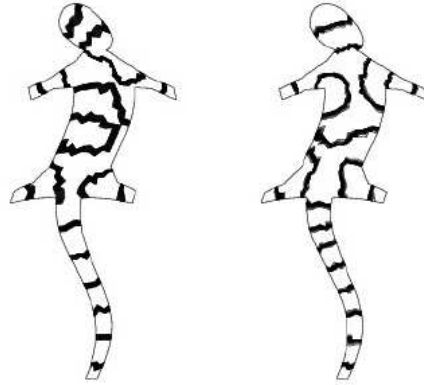
от выбора конечных элементов (P1, P2,...) в операторе

```
fespace Vh(Th, P2);
```

от способа вычисления интегралов `int2d`, `int1d`, от алгоритма решения алгебраических уравнений (`solver`)

```
problem Diffusion(s,a,vs,va, solver=UMFPACK) = ...;
```

Обо всем этом подробно рассказано в гл. 19. Приведем здесь для примера лишь результаты расчета с конечными элементами P1 и P2.

Рис. 6.3. Полосы окраски при $t = 0,1$ для конечных элементов P1 (слева) и P2

Как указано в [19], структура полос сильно зависит от параметра γ . При малых γ в области будет формироваться лишь один черный цвет, при увеличении γ возникнет двухцветный окрас (черный верх, белый низ). При дальнейшем увеличении γ будет возникать более частое чередование черного и белого цветов и, наконец, при очень больших γ чередование будет столь велико, что практически останется лишь один черный цвет (кошка повышенной черной пятнистости).

Заметим, что все параметры, входящие в задачу ($K, \beta, \alpha, s_0, a_0, \dots$), могут быть функциями координат и времени. Очевидно, это будет имитировать ситуацию пространственно-неоднородной шкуры и изменения параметров, например, константы ингибирования K с течением времени.

6.4.2 Реализация алгоритма на языке FreeFem++

Приведем полный код программы на языке FreeFem++, которая использовалась для расчета окраски шкуры кошки. Заметим, что большую часть кода (строки 5–65) занимает задание области D (имитирующей форму шкуры), в которой решается задача.

```

1 // описание параметров задачи
2 int n=2;
3 real alpha, beta, gamma, rho, a0, s0, K;
4 real t, dt;
5 // параметры для задания сложной области -- шкуры животного
6 real xx, yy;
7 real w1,w2,w3,w4,w5,w6,w7,w8,w9;
8 real h1,h2,h3,h4,h5,h6,h7,h8,h9,h10;
9 real x2,x3,x4,x5,x6,x7,x8,x9,x10,x11,x12,x13,x14;
10 real y2,y3,y4,y5,y6,y7,y8,y9,y10,y11,y12,y13,y14;
11 real x15,x16,x17,x18,x19,x20,x21,x22,x23,x24,x25,x26,x1;
12 real y15,y16,y17,y18,y19,y20,y21,y22,y23,y24,y25,y26,y1;
13 real delta,R,y00;
14 // задание координат для построения границ области
15 // голова
16 delta = 1.1;    R = 0.2;    y00 = 1.0;
17 w1=R*cos(-delta);    h1=y00+R*sin(-delta);

```

```

18 // параметры для координат точек контура границы
19 //w1=0.15;
20 w2=0.20; w3=0.40; w4=0.60; w5=0.25; w6=0.35; w7=0.50; w8=0.10; w9=0.05;
21 //h1=1.0;
22 h2=0.75; h3=0.7; h4=0.6; h5=0.55; h6=-0.1;
23 h7=-0.2; h8=-0.3; h9=-0.4; h10=-1.9;
24 // координаты точек левого контура
25 x2=-w1; y2=h1; x3=-w2; y3=h2; x4=-w3; y4=h3; x5=-w4; y5=h3;
26 x6=-w4; y6=h4; x7=-w3; y7=h4; x8=-w5; y8=h5; x9=-w5; y9=h6;
27 x10=-w6; y10=h7; x11=-w7; y11=h7; x12=-w7; y12=h8; x13=-w8; y13=h9;
28 x14=-w9; y14=h10;
29 // координаты точек правого контура
30 x1=w1; y1=h1; x26=w2; y26=h2; x25=w3; y25=h3; x24=w4; y24=h3;
31 x23=w4; y23=h4; x22=w3; y22=h4; x21=w5; y21=h5; x20=w5; y20=h6;
32 x19=w6; y19=h7; x18=w7; y18=h7; x17=w7; y17=h8; x16=w8; y16=h9;
33 x15=w9; y15=h10;
34 // задание линий контура
35 // окружность для головы
36 border L1(t=-delta,pi+delta){ x=R*cos(t); y=y00+R*sin(t); };
37 // отрезки на границе для левого контура
38 //border L1(t=0,1){ x=(1-t)*x1+t*x2; y=(1-t)*y1+t*y2; };
39 border L2(t=0,1){ x=(1-t)*x2+t*x3; y=(1-t)*y2+t*y3; };
40 border L3(t=0,1){ x=(1-t)*x3+t*x4; y=(1-t)*y3+t*y4; };
41 border L4(t=0,1){ x=(1-t)*x4+t*x5; y=(1-t)*y4+t*y5; };
42 border L5(t=0,1){ x=(1-t)*x5+t*x6; y=(1-t)*y5+t*y6; };
43 border L6(t=0,1){ x=(1-t)*x6+t*x7; y=(1-t)*y6+t*y7; };
44 border L7(t=0,1){ x=(1-t)*x7+t*x8; y=(1-t)*y7+t*y8; };
45 border L8(t=0,1){ x=(1-t)*x8+t*x9; y=(1-t)*y8+t*y9; };
46 border L9(t=0,1){ x=(1-t)*x9+t*x10; y=(1-t)*y9+t*y10; };
47 border L10(t=0,1){ x=(1-t)*x10+t*x11; y=(1-t)*y10+t*y11; };
48 border L11(t=0,1){ x=(1-t)*x11+t*x12; y=(1-t)*y11+t*y12; };
49 border L12(t=0,1){ x=(1-t)*x12+t*x13; y=(1-t)*y12+t*y13; };
50 border L13(t=0,1){ x=(1-t)*x13+t*x14; y=(1-t)*y13+t*y14; };
51 // нижний горизонтальный отрезок
52 border L14(t=0,1){ x=(1-t)*x14+t*x15; y=(1-t)*y14+t*y15; };
53 // отрезки на границе для правого контура
54 border L15(t=0,1){ x=(1-t)*x15+t*x16; y=(1-t)*y15+t*y16; };
55 border L16(t=0,1){ x=(1-t)*x16+t*x17; y=(1-t)*y16+t*y17; };
56 border L17(t=0,1){ x=(1-t)*x17+t*x18; y=(1-t)*y17+t*y18; };
57 border L18(t=0,1){ x=(1-t)*x18+t*x19; y=(1-t)*y18+t*y19; };
58 border L19(t=0,1){ x=(1-t)*x19+t*x20; y=(1-t)*y19+t*y20; };
59 border L20(t=0,1){ x=(1-t)*x20+t*x21; y=(1-t)*y20+t*y21; };
60 border L21(t=0,1){ x=(1-t)*x21+t*x22; y=(1-t)*y21+t*y22; };
61 border L22(t=0,1){ x=(1-t)*x22+t*x23; y=(1-t)*y22+t*y23; };
62 border L23(t=0,1){ x=(1-t)*x23+t*x24; y=(1-t)*y23+t*y24; };
63 border L24(t=0,1){ x=(1-t)*x24+t*x25; y=(1-t)*y24+t*y25; };
64 border L25(t=0,1){ x=(1-t)*x25+t*x26; y=(1-t)*y25+t*y26; };
65 border L26(t=0,1){ x=(1-t)*x26+t*x1; y=(1-t)*y26+t*y1; };
66 // формирование сетки - на различных участках границы, в зависимости от
67 // их длины, выбирается различное количество отрезков разбиения
68 mesh Th0 =

```

```

69     buildmesh(L1(10*n)+L2(3*n)+L3(3*n)+L4(3*n)+L5(3*n)+L6(3*n)+L7(3*n)
70             +L8(6*n)+L9(3*n)+L10(3*n)+L11(3*n)+L12(3*n)+L13(16*n)+L14(3*n)
71             +L15(16*n)+L16(3*n)+L17(3*n)+L18(3*n)+L19(3*n)+L20(6*n)
72             +L21(3*n)+L22(3*n)+L23(3*n)+L24(3*n)+L25(3*n)+L26(3*n));
73 // для деформации
74 mesh Th=Th0;
75 // функции для деформации сетки
76 //func uu = sin(2*y*pi)/10;
77 //func vv = cos(2*x*pi)/10;
78 func uu = sin(y*pi)/10;
79 func vv = cos(x*pi)/10;
80 // коэффициент деформации сетки
81 real coef=1.5;
82 // деформация сетки (убрать комментарии, если понадобится деформация)
83 //Th = movemesh(Th0, [x+coef*uu, y+coef*vv]);
84 // рисование сетки
85 plot(Th, wait=1);
86 // задание пространства конечных элементов
87 fespace Vh(Th, P2);
88 // на Vh определяем искомые функции s, а и тестовые функции vs, va
89 Vh s, vs, a, va;
90 // на пространстве Vh определяем вспомогательные функции
91 Vh gsa, fsa;
92 Vh spr, apr;
93 // запись слабой (вариационной) формулировки задачи
94 problem Diffusion(s,a,vs,va, solver=UMFPACK) =
95     int2d(Th)(s*vs + dt*(dx(s)*dx(vs) + dy(s)*dy(vs)) )
96     -int2d(Th)((spr + dt*gsa)*vs)
97     +int2d(Th)(a*va + beta*dt*(dx(a)*dx(va) + dy(a)*dy(va)) )
98     -int2d(Th)((apr + dt*fsa)*va) ;
99 // задание параметров для исходной задачи
100 alpha=1.5; K=0.125; rho=13; s0=103; a0=77; beta=7; gamma=510;
101 // описание переменных для стационарных состояний
102 real sinit, ainit;
103 // задание вспомогательной функции для вывода информации
104 Vh sdif;
105 // стационарное решение -- корни системы уравнений gsa=0, fsa=0
106 sinit = 24.95939605; ainit = 24.97293070;
107 // возмущения стационарного решения
108 spr = sinit + 0.01*cos(12.765*pi*x)*sin(12*pi*y);
109 apr = ainit + 0.00001*cos(10*pi*x)*sin(16.786*pi*y);
110 // организуем пошаговое решение задачи
111 t = 0; dt = 0.001;
112 for (int m=0; m<=1000; m++)
113     { // определение функций gsa, fsa
114         gsa = gamma*(s0-spr - rho*spr*apr/(1+spr+K*spr^2));
115         fsa = gamma*(alpha*(a0-apr) - rho*spr*apr/(1+spr+K*spr^2));
116         t = t + dt;
117         // вызов problem Diffusion
118         Diffusion;
119         // перенесение решения с одного временного слоя на другой

```

```
120     spr = s;  
121     apr = a;  
122     // формирование разности между решением и стационарным состоянием  
123     sdif = s - sinit;  
124     // вывод результатов  
125     plot(sdif, fill!=(m % 5), // заливка через пять шагов  
126           wait!=(m % 25),    // ожидание "щелчка мыши" для  
127                               // продолжения расчета через 25 шагов  
128           value!=(m % 25),  // вывод легенды через 25 шагов  
129           cmm=m);  
130     cout << 10000*s[].min << " " << 10000*s[].max << endl;  
131 }
```

✓. В языке FreeFem++ имеются встроенные генераторы случайных чисел (см. [1]), которые, в принципе, можно использовать для задания возмущения стационарного решения, изменив соответствующим образом строки 108, 109.